

دوفصلنامه هیدروفیزیک

دوره پنجم، شماره اول (بهار و تابستان ۱۳۹۸)

مقاله پژوهشی

تخمین انرژی قابل استحصال از امواج با ایجاد جریان‌های شکافنده مصنوعی

بهارک صباحی نمینی^۱، مجید قدسی حسن آباد^{۲*}، سارا الله یاری ییک^۳، مجتبی عظام^۴

^۱ دانشجوی دکتری فیزیک دریا، گروه علوم دریایی، دانشکده منابع طبیعی و محیط‌زیست، دانشگاه آزاد اسلامی،

واحد علوم و تحقیقات، تهران baharaksabahi@gmail.com

^۲*نویسنده مسئول، استادیار، گروه صنایع دریایی، دانشگاه آزاد اسلامی، واحد علوم و تحقیقات، تهران m.ghodsi@srbiau.ac.ir

^۳ استادیار، گروه علوم دریایی، دانشکده منابع طبیعی و محیط‌زیست، دانشگاه آزاد اسلامی،

واحد علوم و تحقیقات، تهران s.allahyari@srbiau.ac.ir

^۴ استادیار، گروه علوم دریایی، دانشکده منابع طبیعی و محیط‌زیست، دانشگاه آزاد اسلامی،

واحد علوم و تحقیقات، تهران ezam@srbiau.ac.ir

تاریخ پذیرش: ۹۸/۰۶/۱۲

تاریخ دریافت: ۹۸/۰۲/۱۷

چکیده

امروزه استفاده از انرژی‌های تجدیدپذیر، از جمله انرژی‌های اقیانوسی به یک ضرورت تبدیل شده است. امواج دریایی خزر برای استخراج انرژی، توان قابل ملاحظه‌ای ندارند، اما اگر بتوان انرژی امواج را تجمع نمود، انرژی قابل توجهی در دسترس خواهد بود. با الگوگیری از یک پدیده طبیعی به نام جریان شکافنده می‌توان به این هدف دست یافت. پس با مدل‌سازی جریان‌های شکافنده و درنظر گرفتن متغیرهای ارتفاع شاخص موج، پریود موج، شب‌بستر، ارتفاع کanal جریان شکافنده، فاصله کanal تا ساحل و فاصله بین کanal‌ها به محاسبه میزان توان قابل استحصال با استفاده از نرم‌افزارهای مایک و متلب پرداخته می‌شود. در این تحقیق، ابتدا با نرم‌افزار متلب، کanal شیوه‌سازی شد، سپس با استفاده از نرم‌افزار مایک، مشبندی و توپوگرافی پیاده‌سازی شد. نتایج شامل سرعت آب در ۳۶ نقطه بین کanal در عمق‌های مختلف استخراج شد و درنهایت با استفاده از محاسبات نرم‌افزار متلب، دبی و توان حاصل از کanal شیوه‌سازی شده، محاسبه شد. نتایج نشان‌دهنده آن است که بهترین حالت، ارتفاع شاخص موج ۱/۵ متر، پریود ۵ ثانیه، شب‌بستر ۷/۵٪، ارتفاع کanal ۴/۹۵ متر، فاصله کanal تا ساحل، ۷۵ متر و فاصله کanal‌های جریان شکافنده ۱۰ متر است که با مشخصات امواج برخی نقاط سواحل مازندران مطابقت دارد و توانی حدود ۳۰ کیلووات از آن قابل استحصال است. این حالت از بین ۲۳ حالت بررسی شده به دست آمده است. مهم‌ترین پارامترهایی که بیشترین تغییر را در استخراج توان ایجاد می‌کنند، ارتفاع شاخص موج و ارتفاع کanal هستند. در حالت‌های بررسی شده، توان تقریباً از صفر تا ۲۹/۲ کیلووات تغییر می‌کند و برای تنها چهار حالت توان بالاتر از ۱۷ کیلووات بوده و قابل بررسی است.

واژه‌های کلیدی: جریان‌های شکافنده، استحصال انرژی، کanal مصنوعی، دریای خزر

دریای خزر پرداخت و منطقه مورد مطالعه بندر انزلی را انتخاب نمود. وی در دو روز از تابستان سال ۲۰۰۸ و ۲۰۰۹ با شرایط مختلف موجی و استفاده از پنج جی پی اس^۱ شناور به بررسی این جریان پرداخت و ۹ جریان سنج آر. سی. ام^۲ را برای تعیین سرعت شناورها در کanal جریان شکافنده نصب کرد و نشان داد که در سواحل شنی، موقعیت‌هایی که برای این کanal روی می‌دهد با مکانیزم‌های هیدرودینامیکی تعیین می‌شود [۸]. ولی پور در سال ۱۳۹۲ با مدل‌سازی فیزیکی به بررسی عوامل مؤثر بر تغییر فاصله بین کanal‌های جریان شکافنده و عرض آن‌ها با مطالعه پارامترهای هیدرودینامیکی پرداخت و درنهایت با کمک نرم‌افزار مایک^۳ از طریق مقایسه مدل‌سازی عددی از جمله نرم‌افزار مايك^۴ از طریق مقایسه نتایج آزمایشگاهی با داده‌های مدل، رابطه مناسب برای محاسبه فاصله و عرض کanal‌های جریان شکافنده بر حسب پارامترهای موج و بسته ارائه داد [۹]. چاوبود در سال ۲۰۱۱ در یک فلوم آزمایشگاهی میزان انرژی حاصل از جریان شکافنده را اندازه‌گیری کرد و نتیجه گرفت که قدرت جریان شکافنده طبیعی برای تولید برق در مقیاس بزرگ مناسب نیست [۱۰]. کومار و ولگاریس در سال ۲۰۱۲ مدل اقیانوسی سه‌بعدی رامز^۵ را با مدل‌های انتشار موجی سوان^۶ و راف/دیف^۷ ترکیب کرده و برای مدل‌سازی جریان شکافنده در آب کم عمق استفاده نمودند. نتایج حاصل از این تحقیق الگوهای گردش منطقه خیزاب ساحلی را نشان داده و این مدل نشان داد که شدت جریان شکافنده در امواجی که با زوایای ۱ تا ۵ درجه به ساحل می‌رسند، نسبت به امواج عمودی بیشتر است [۱۱]. کستل و رینرز در سال ۲۰۱۳ با استفاده از مدل عددی به بررسی تأثیر ریخت‌شناسی سدهای رسوی در بقا و دوام منطقه خیزاب در سواحلی با کanal‌های جریان شکافنده، تحت تأثیر امواج عمود بر ساحل پرداختند و درنتیجه مطالعاتشان دریافتند، فواصل بین کanal‌های جریان شکافنده مبنای مناسبی برای سنجش میزان دوام منطقه خیزاب ساحلی است به طوری که دوام خیزاب با افزایش فواصل بین کanal‌ها کاهش می‌یابد [۱۲]. براساس تحقیقات یادشده، همچنین مطالعات زیادی که توسط محققان مختلف صورت گرفته، درمجموع می‌توان گفت شبیه ستر، عمق کanal

۱. مقدمه

جریان‌های شکافنده، جریان‌های عمود بر ساحل، باریک و جاری به سمت دریا هستند که از درون منطقه خیزاب ساحلی سرچشمۀ می‌گیرند تا منطقه شکست موج (سرقارچی جریان شکافنده) پیش می‌روند و می‌توانند سرعت‌های نسبتاً زیادی هم داشته باشند. این جریان‌ها درون ناحیه خیزاب ساحلی به صورت طبیعی افت پیدا می‌کنند؛ سپس به سمت دریا جهت‌گیری کرده و حرکت می‌کنند. همچنین این جریان‌ها، تقریباً عمود بر ساحل و به سمت دریا هستند و غالب سرعتی حدود ۰/۱ تا ۱ ک مترا بر ثانیه دارند و در جریان‌های بزرگ‌مقیاس مثلاً پالم بیچ استرالیا به ۲ متر بر ثانیه نیز می‌رسد [۱-۲]. داده‌های آزمایشگاهی و میدانی میان آن است که با افزایش انرژی موج و کاهش عمق آب، جریان شکافنده قدرت بیشتری می‌گیرد. این جریان در داخل منطقه خیزاب ساحلی به سبب از میان رفتن امواج به بیشترین مقدار خود می‌رسد [۳].

روش‌های اولیه شناسایی جریان شکافنده عبارت‌اند از:

- وجود کanalی از آب متلاطم و خروشان؛
- تفاوت در رنگ آب (ممکن است رسوب‌های معلق به وسیله جریان شکافنده به دریا بازگردانده شوند).؛
- وجود خطی کف آلود دارای خزه و لجن به سمت دریا؛
- شکست در الگوی امواج فرودی [۴-۵].

زاویۀ امواج فرودی با خط ساحلی، بر احتمال وقوع جریان شکافنده تأثیرگذار است. امواجی که با زاویه‌ای تقریباً عمود به سمت ساحل می‌آیند، بیش از امواج فرودی با زوایای دیگر، احتمال تشکیل جریان‌های شکافنده را دارند. فعل و افعال مرزی موج، ریخت‌شناسی بستر منطقه خیزاب ساحلی، شبیه ملایم ساحل، سازه‌های ساحلی و برآمدگی‌های شنی در طول ساحل و جزر و مد در تشکیل و تقویت جریان‌های شکافنده نقش دارند [۶]. علیزاده در سال ۱۳۸۳ نیز به بحث کوتاهی در مورد جریان‌های شکافنده و راهکارهای اجتناب از آن، همچنین به بررسی ویژگی‌های اقلیمی و زمین‌شناختی خزر پرداخته است [۷]. شافعی ثابت به بررسی میدانی جریان‌های شکافنده در امتداد ساحل جنوبی

قله پشته از موج ساز ۱۲ متر، عمق آب در مرز دریا ۴۰ سانتی متر و در بالای پشته برابر ۵ سانتی متر است. همچنین امواج منظم با پریود یک ثانیه و ارتفاع ۴/۵ سانتی متر، ابعاد مدل انتخابی با آن‌ها با ۱۸/۲ متر و عرض ۱۷/۲ متر است [۱۹].

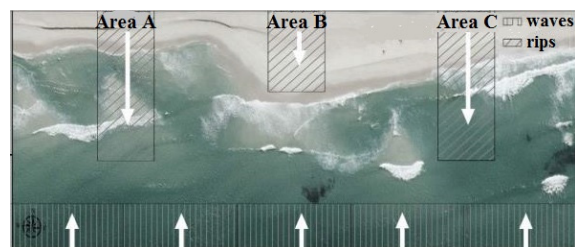
در این تحقیق جریان‌های شکافنده را با دیدگاهی متفاوت نسبت به سایر تحقیقات موردمطالعه قرار داده شد؛ علی‌رغم این که جریان‌های شکافنده خطراتی نیز دارند در این تحقیق به عنوان یک پدیده مفید معرفی می‌شوند و اثر پارامترهای مختلف، برای افزایش قدرت جریان شکافنده به صورت مصنوعی برای استخراج انرژی جریان بررسی می‌شود. در این راستا کانالی مصنوعی از جنسی مستحکم مانند فولاد در فاصله‌ای از ساحل برای مطالعه جریان شکافنده با نرم‌افزار متلب^۸ مدل شده، سپس تأثیر عوامل مختلف از جمله پریود موج، ارتفاع شاخص موج، فاصله بین دو کanal و ارتفاع کanal، شیب بستر و فاصله کanal از ساحل بر جریان شکافنده مورد ارزیابی قرار می‌گیرد. در این تحقیق ضمن بازنگری مطالعات سایر محققان، به بررسی تأثیر این عوامل بر جریان شکافنده از طریق مازاول کوپل^۹ نرم‌افزار مایک^۳ پرداخته می‌شود. همان‌طور که اشاره شد در این تحقیق سدی که عامل ایجاد جریان شکافنده است، به صورت مصنوعی و از جنسی مانند فولاد است. بنابراین؛ سد رسوی که عامل ایجاد جریان شکافنده طبیعی است، در این مطالعه در نظر گرفته نمی‌شود.

درنهایت بیشینه توان ناشی از جریان بر اساس پارامترهای تأثیرگذار بر جریان شکافنده به دست آمده است. لازم به توضیح است اگرچه انرژی زیادی در امواج دریای خزر نهفته است، ولی استحصال انرژی از امواج آن (به دلیل کوتاه بودن دامنه امواج) با استفاده از تجهیزات مرسوم امکان‌پذیر نیست. ایده تجمیع انرژی امواج کوچک و تبدیل آن به انرژی قابل توجه برای استحصال، محققان تحقیق حاضر را بر آن داشت تا با الگوگیری از یک پدیده طبیعی به نام جریان شکافنده در دریای خزر و شبیه‌سازی آن در این راه مهم قدمی بردارند.

موازی با ساحل، فاصله تپه شنی یا کanal رسوی تشکیل شده تا ساحل، فاصله بین کanal‌ها، ارتفاع تپه رسوی، عمق آب و مشخصات موج فروندی بر میزان سرعت جریان شکافنده و به دنبال آن انرژی این جریان تأثیر مستقیم دارند [۱۳-۱۷].

غلامی، پهنه‌بندی جریان‌های شکافنده در سواحل غربی استان گیلان را موردمطالعه قرار داده است. یکی از نتایج این تحقیق، استخراج سرعت‌های مختلف جریان‌های شکافنده با توجه به ارتفاع امواج است که موجب تغییر شکل بستر ماسه‌ای می‌شود. همچنین وی دریافت که می‌توان هر ۸۰۰ متر یک کanal ثابت مشاهده کرد [۵].

کریاد و سودا در سال ۲۰۱۹ با مطالعه روی سواحل شهر ریودوژانیرو (برزیل) رابطه‌ای بین پارامترهای جریان‌های شکافنده (بزرگی و جهت)، جزر و مد (دامنه و فاز) و موج (ارتفاع، دوره تناوب و زاویه ورودی) برقرار کردند. براساس این تحقیق شدیدترین جریان‌های شکافنده اغلب در طول موج‌های بزرگ مشاهده می‌شود. همچنین ساحل رسرو^۷ با توجه به جریان‌های شکافنده شدیدی که در آن رخ می‌دهد، مطابق شکل ۱، به سه منطقه تقسیم می‌شود. دو منطقه جانبی به عنوان "مناطق خطرناک" و یک منطقه مرکزی به عنوان "منطقه امن" [۱۸] می‌باشد.

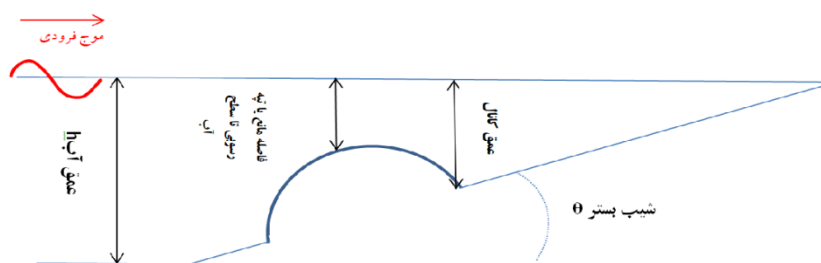


شکل ۱. سه ناحیه تشکیل جریان شکافنده (ناحیه A و C خطرناک و ناحیه B امن هستند) [۱۸]

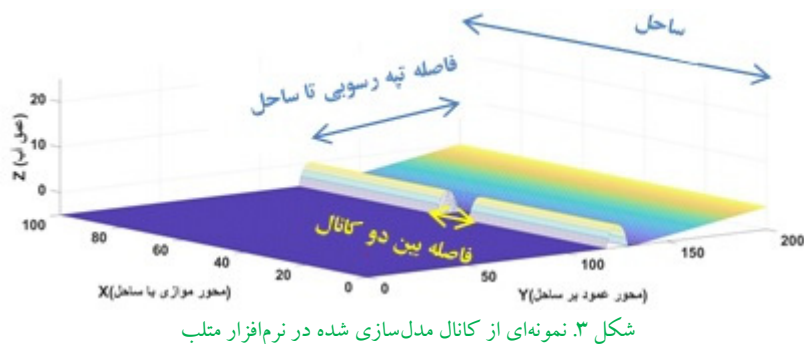
در سال ۱۹۹۷ مدلی توسط هالر و همکاران برای محاسبه سرعت جریان شکافنده در یک کanal ارائه شد. آن‌ها یک مدل آزمایشگاهی برای مشاهده و بررسی جریان‌های شکافنده از روی یک پشته با کanal‌های برگشتی ایجاد کردند که مشخصات آن شامل ژرفای مدل با شیب ساحل ۰:۳۰ و ۱:۵ با پشته‌ای به موازات ساحل و دو شکاف کanalی به عرض ۱/۸ متر در فاصله ۳/۶ متر از لبه بیرونی مدل بر پشته، فاصله

ثانیه در معرض امواجی با ارتفاع شاخص موج‌های مختلف قرار داده شد. شکل ۲ متغیرهای شبیه سازی شده، عمق کanal، موج فروضی و فاصله مانع تا سطح آب را در نمای چپ کanal به خوبی نشان می‌دهد، همچنین شکل ۳ که با کanal فرضی در نرم افزار متلب شبیه سازی شده است، فاصله بین کanal‌ها و محورهای مختصات را نشان می‌دهد.

منطقه مورد مطالعه از طریق یک شبکه‌بندی با ۳۳۰۲ گره محاسباتی و ۶۳۴۵ المان شبیه سازی شد. در ماذول هیدرودینامیک^{۱۰} مقاومت بستر با انتخاب عدد مانینگ مقدار ثابتی به اندازه ۳۲ انتخاب شد. همچنین گام زمانی برای افuate شرط همگرایی با توجه به عدد کورانت^{۱۱}، ۲ ثانیه و کل زمان اجرا ۱۰۰۰ ثانیه در نظر گرفته شد. متغیرهای مدل نیز در جدول ۱ نشان داده شده‌اند.



شکل ۲. شماتیک نمای چپ کanal



شکل ۳. نمونه‌ای از کanal مدل سازی شده در نرم افزار متلب

کanal مصنوعی شبیه سازی شد، سپس فایلی در قالب (*.XYZ) از خروجی‌های متلب برای ورود داده‌ها به نرم افزار مایک آماده شد. با اعمال شرایط مرزی مشبندی و توپوگرافی بستر انجام شد که در شکل‌های ۴ و ۵ نشان داده شده است. سپس با استفاده از مدل مایک با ماذول مایک^۳، سرعت‌های ۳۶ نقطه در فاصله بین دو کanal در عمق‌های مختلف استحصال شد. نتایج حاصل از محاسبه سرعت‌ها با

۲. مواد و روش‌ها

۱-۲. تشریح کanal و ابعاد

در این تحقیق، ابعاد منطقه مورد مطالعه 200×100 متر مربع همراه با یک کanal جریان شکافنده است. محورهای مختصات طوری در نظر گرفته شدند که محور X عمود بر ساحل و محور Y در طول ساحل است. با توجه به پارامترهای مانند ارتفاع شاخص موج و پریود موج، شبیه ساحل و عرض ناحیه خیاب ساحلی در منطقه مورد مطالعه (دریای خزر)، نرم افزارهای مورد استفاده در این تحقیق برای شبیه سازی جریانات شکافنده و بررسی عوامل هیدرودینامیکی و مورفودینامیکی، شامل نرم افزارهای متلب و مایک است. فاصله و عرض کanal‌های جریان شکافنده بعد از مطالعه الگوی کلی جریان با تغییر پارامترهای موج، به مدت ۱۰۰۰

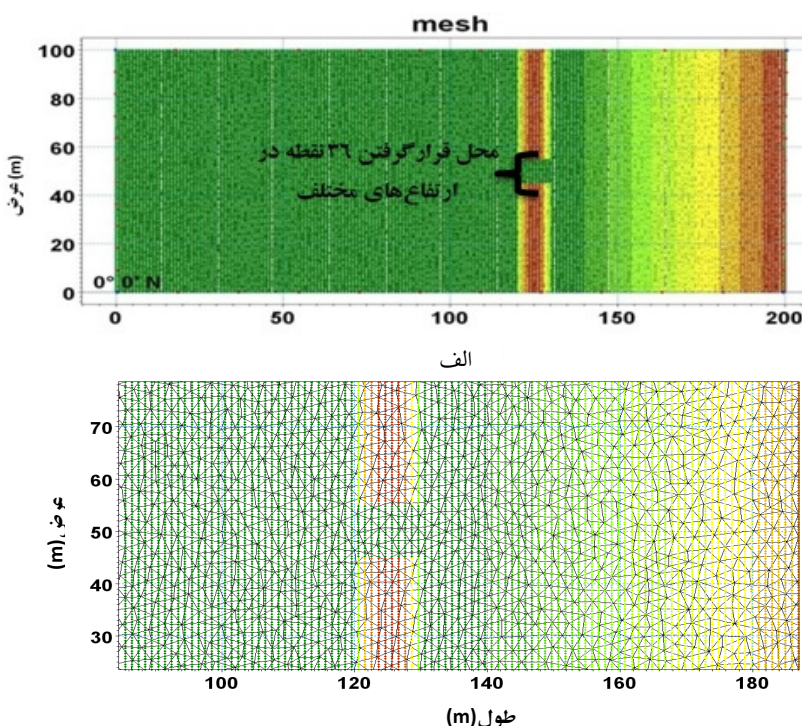
۲-۲. مراحل اجرای مدل

در این تحقیق ابتدا خصوصیات امواج شامل ارتفاع شاخص و پریود موج فروضی در چند منطقه ساحلی دریای خزر، همچنین ویژگی‌های ساحلی شامل شبیه منطقه ساحلی، عرض ناحیه خیاب ساحلی، فاصله بین دو کanal جریان شکافنده، عمق آب و فاصله کanal تا ساحل مورد بررسی قرار گفت. سپس با استفاده از کدنویسی در نرم افزار متلب یک

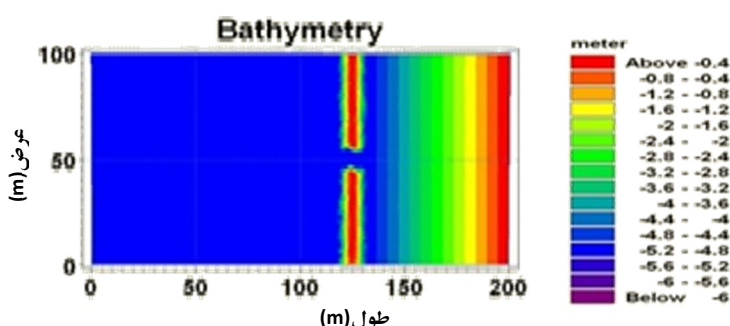
حداقل شامل سه اجرا است؛ مرحله اول بر اساس تغییرات پریود موج و ارتفاع شاخص موج، مرحله دوم تغییرات شیب بستر، مرحله سوم تغییرات ارتفاع پشته‌ها، مرحله چهارم فاصله کanal از ساحل و درنهایت مرحله پنجم تغییرات فاصله بین دو مانع است. مدل در حال بررسی در مجموع ۲۳ بار اجرا شد. البته در اجرای مدل از شرایط موج فرودی در خزر جنوبی (سواحل مازندران) استفاده شد [۲۰]. جدول ۱ مقادیر متغیرها را در هر یک از مراحل اجرا نشان می‌دهد.

کدنویسی در نرم‌افزار مطلب میزان دبی و توان محاسبه شد. لازم به یادآوری است که با تغییر متغیرهای تعریف شده در جدول ۱ به محاسبه مقدار بهینه انرژی پرداخته شد.

در جدول ۱، (a) زاویه کanal با خطی به موازات خط ساحل است، ارتفاع شاخص موج (a) و برحسب متر است، پریود موج (T) برحسب ثانیه، (θ) شیب بستر، α شعاع کanal یا ارتفاع پشته‌ها برحسب متر، فاصله بین کanal‌ها برحسب متر است. طبق جدول ۱ برای بررسی سرعت و انرژی جریان در کanal شبیه‌سازی شده، پنج مرحله اجرا شد که هر مرحله



شکل ۴. شبکه‌بندی مثالی کanal مورداستفاده در مدل‌سازی (الف) کل ناحیه حل (ب) بزرگنمایی بخشی از ناحیه حل



شکل ۵. توپوگرافی کanal مصنوعی

این معادلات با گسسته‌سازی به روش تفاضل محدود بر روی یک شبکه پیشنهادی مستطیلی حل می‌شوند. امواج پس از رسیدن به منطقه کم عمق ساحلی، تحت تأثیر انکسار و شرایط کم عمقی قرار می‌گیرند و سرانجام می‌شکنند. در اثر شکست امواج در این ناحیه و تغییرات تنش‌های برشی، دو جریان یکی به موازات ساحل و دیگری عمود بر ساحل پدید می‌آید [۲۱].

نتیجه نهایی حاصل از این تحقیق برآورد توانی است که از انرژی جریان‌های شکافنده می‌توان استحصال کرد مقدار توان آب ورودی از سطحی معین با توان سوم سرعت به شکل

رابطه (۴) بیان می‌شود:

$$P_w = \frac{1}{2} \rho A V^3 \quad (4)$$

که در آن P_w توان در آب و برحسب وات، ρ چگالی آب و برحسب کیلوگرم بر مترمکعب، A سطحی است که با توربین آبی جاروب می‌شود و برحسب مترمربع، V سرعت آب برحسب متر بر ثانیه است. این انرژی، مقدار انرژی است که در آب موجود است.

با توجه به معادله توان توربین رابطه (۴) و معادله‌های ضریب توان توربین آبی، توان مکانیکی اعمالی به توربین آبی که همان توان مکانیکی جذب شده از آب است از رابطه (۵) به دست می‌آید [۲۲]:

$$P_m = \frac{1}{2} \rho A V^3 C_p(\lambda, \beta) \quad (5)$$

که در رابطه (۵)، P_m توان مکانیکی توربین با واحد وات، $C_p(\lambda, \beta)$ ضریب توان توربین آبی (که به طراحی توربین وابسته است) و در آن β زاویه گام پره‌ها و λ نسبت سرعت لبه پره است. ρ چگالی آب به طور متوسط برای خزر 10^{10} کیلوگرم بر مترمکعب است و A سطح مقطع پره‌های توربین برحسب مترمربع و V سرعت ورودی آب برحسب متر بر ثانیه است. ماکزیمم مقدار C_p در حالت ایده آل مقدار حد بترا که برابر $0/59$ است. مقدار ماکزیمم C_p برای توربین‌های آبی 48 تا $40/5$ در نظر گرفته می‌شود.

۳. تئوری و محاسبات

۳-۱. معادله‌ها در مازول هیدرودینامیک مایک

در مازول هیدرودینامیک معادله‌های زیر پایستگی جرم و تکانه را نشان می‌دهد که نرم افزار با انتگرال گیری از این معادله‌ها در راستای قائم، تغییرات تراز آب و جریانات را در منطقه مدل محاسبه می‌کند:

معادله پیوستگی:

$$\frac{\partial \xi}{\partial t} + \frac{\partial p}{\partial x} + \frac{\partial q}{\partial t} = \frac{\partial d}{\partial t} \quad (1)$$

معادله تکانه در جهت x :

$$\begin{aligned} \frac{\partial p}{\partial t} + \frac{\partial}{\partial x} \left(\frac{p^2}{h} \right) + \frac{\partial}{\partial y} \left(\frac{pq}{h} \right) + gh \frac{\partial \xi}{\partial x} - \frac{gp \sqrt{p^2 + q^2}}{C^2 h^2} \\ - \frac{1}{\rho_w} \left[\frac{\partial}{\partial x} (h \tau_{xx}) + \frac{\partial}{\partial y} (h \tau_{xy}) \right] \\ - \Omega q - f v v_x + \frac{h}{\rho_w} \frac{\partial}{\partial x} (p_a) = 0 \end{aligned} \quad (2)$$

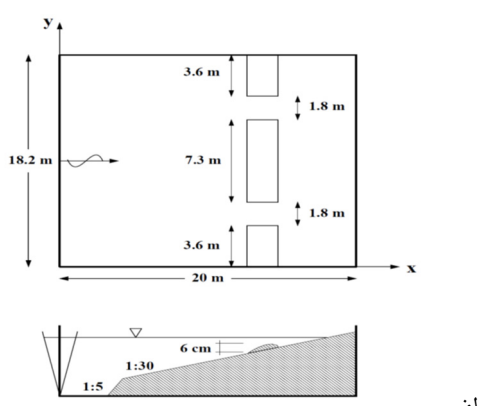
معادله تکانه در جهت y :

$$\begin{aligned} \frac{\partial q}{\partial t} + \frac{\partial}{\partial y} \left(\frac{q^2}{h} \right) + \frac{\partial}{\partial x} \left(\frac{pq}{h} \right) + gh \frac{\partial \xi}{\partial y} - \frac{gp \sqrt{p^2 + q^2}}{C^2 h^2} \\ - \frac{1}{\rho_w} \left[\frac{\partial}{\partial y} (h \tau_{yy}) + \frac{\partial}{\partial x} (h \tau_{xy}) \right] \\ - \Omega p - f v v_y + \frac{h}{\rho_w} \frac{\partial}{\partial y} (p_a) = 0 \end{aligned} \quad (3)$$

که در این روابط: h عمق آب برحسب متر و برابر $d - \xi$ است، ξ تراز سطح آب برحسب متر، d تغییر زمانی عمق آب برحسب متر، p, q چگالی‌های شار در جهت‌های x و y است، C ضریب شری 1^2 برحسب جذر متر بر ثانیه، g شتاب گرانش برحسب متر بر مجدور ثانیه، f فاکتور اصطکاک باد، همچنین $v_y, v_x, v, \tau_{yy}, \tau_{xy}, \tau_{xx}$ سرعت باد و مؤلفه‌های آن در جهت‌های x و y برحسب متر بر ثانیه، Ω نیروی کوریولیس وابسته به عرض جغرافیایی، p_a فشار جو و ρ_w چگالی آب برحسب کیلوگرم بر مترمکعب، t زمان برحسب ثانیه و $\tau_{yy}, \tau_{xy}, \tau_{xx}$ مؤلفه‌های تنش برشی برحسب نیوتون بر مترمربع هستند.

مرحله از نتایج یک سری اجراهای اولیه برای سنجش میزان حساسیت تراز آب نسبت به ضرایب ورودی مدل نظری عدد کورانت انجام می‌شود.

به منظور بررسی اثر کورانت بر تراز آب نتایج مدل‌سازی، مدل حاضر با ضرایب ویسکوزیته مختلف ($0/28, 0/24, 0/20$) برای یک دوره مشخص اجرا شده و نتایج به دست آمده در مناطق مختلف با یکدیگر مقایسه شدند. مقایسه ترازهای آب در شبیه‌سازی نشان می‌دهند که نسبت به ضرایب ویسکوزیته حساسیت ندارند. از آنجاکه شبیه‌سازی‌های انجام شده، نشان دادند که ضریب ویسکوزیته بر نتایج ترازهای آب ناشی از جریان، تأثیری نداشته، بنابراین؛ مقدار ثابت $0/28$ که در راهنمای نرم‌افزار پیشنهاد شده برای استفاده در شبیه‌سازی این مطالعات به کار گرفته شده است. پس از تعیین مقادیر مناسب ضرایب، مدل حاضر با مدل هالر و همکاران [۱۹] با مشخصات اشاره شده در بخش مقدمه وطبق شکل ۶ مقایسه و صحت‌سنجی شده است. پس از شبیه‌سازی کanal توسط متلب و با استفاده از مدل عدی مایک^۳ و به دست آمدن میانگین سرعت با توجه به سری زمانی، سرعت متوسط $0/4$ متر بر ثانیه بود ولی متوسط نتیجه توسط هالر $0/5$ متر بر ثانیه گزارش شده بود که حدود 20% خطأ وجود داشت.



۲-۳. پایداری مدل
در تمامی مدل‌هایی که با روش تفاضل محدود کار می‌کنند، پایداری و همگرایی مدل به مشخصات پارامترهای خاصی همچون گام زمانی و گام مکانی مدل بستگی دارد. در مازول هیدرودینامیک برای تعیین شرایط پایداری مازول، عدد کورانت تعریف شده است. به منظور دستیابی به پایداری کامل، عدد کورانت در حدود $0/8$ باید در نظر گرفته شود. در حالت کلی با افزایش عدد کورانت تا زمانی که پایداری مطلوب قبل حصول باشد، به دلیل افزایش طول گام زمانی، سرعت محاسبات افزایش یافته و شرایط مطلوب تری ایجاد می‌شود. عدد کورانت طبق رابطه ۶ قبل محاسبه است:

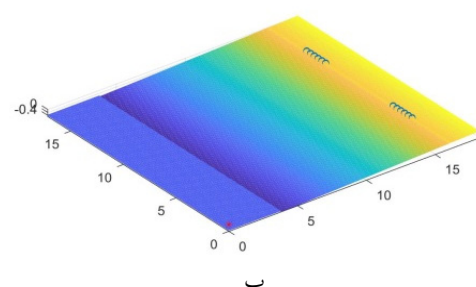
$$C_R = c \frac{\Delta t}{\Delta x} \quad (6)$$

$$c = \sqrt{gh} \quad (7)$$

که در آن، h عمق آب، c سرعت امواج، Δx گام مکانی در جهت x و Δt گام زمانی است.

۳-۳. کالیبراسیون مدل

به کمک نتایج حاصل از آنالیز حساسیت می‌توان مدلی با دقیق‌تر برپا نمود، این کار به طور کلی نشان می‌دهد که کدام یک از ضرایب ورودی بیشترین تأثیر را بر تغییرات نتایج خروجی دارد. بر اساس نتایج این قسمت، کالیبراسیون بر اساس تعداد ضرایب ورودی مدل انجام می‌گیرد. در این



شکل ۶. الف. ابعاد فلوم طراحی شده توسط هار و همکارانش [۱۹]، ب. شبیه‌سازی فلوم با استفاده از نرم‌افزار متلب

نظر گرفتن پدیده شکست و عمق آب، نزدیک‌ترین فاصله به سطح آب بهترین حالت برای دریافت بیشینه مقدار توان است. در این تحقیق عمق آب ۵ متر و ارتفاع کanal ۴/۹۵ متر در نظر گرفته شده که شکل ۹ گویای این مطلب است. در مرحله چهارم با متغیر فرض کردن فاصله کanal یا پشته از ساحل، پارامترهای دیگر ثابت در نظر گرفته شده است. مشاهدات نشانگر آن است که با افزایش فاصله کanal‌ها از ساحل تا حدود ۷۵ متر دور از ساحل، بیشترین مقدار توان به دست می‌آید ولی با افزایش بیشتر از این مقدار برای فاصله کanal از ساحل روند، نزولی در مقدار توان استحصال شده به دست می‌آید. در این تحقیق با توجه به موقعیت منطقه بیان شده حالت بهینه ۷۵ متر است که شکل ۱۰ به خوبی این مطلب را نشان می‌دهد.

در مرحله پنجم با متغیر در نظر گرفتن پارامتر فاصله بین کanal‌ها، پارامترهای دیگر ثابت فرض شدن، نتیجه حاصل از محاسبات بیانگر این مطلب بود که اگر فاصله بین دو کanal ۱۰ متر باشد. بیشترین مقدار توان حاصل خواهد شد ولی اگر فاصله کanal‌ها بیشتر از این مقدار باشد، با هم مقدار توان خروجی کم خواهد شد که در شکل ۱۱ به خوبی نشان داده شده است.

درنهایت حالت بیشینه مقدار توان حاصل از جریان شکافنده در جدول ۱ با علامت * نشان داده شده است. سرعت، دبی و الگوی جریان در این حالت بیشینه با شکل‌های ۱۲ تا ۱۵ نشان داده شده‌اند.

مقادیر تشریح شده در مراحل بالا در جدول ۱ به همراه مقادیر پتانسیل توان استخراجی آمده‌اند.

۴. یافته‌ها و بحث

در این تحقیق برای استخراج نتایج، از شرایط موج فرودی در دریای خزر جنوبی (سواحل مازندران) استفاده شد [۲۰]. همچنین حالت بهینه (بیشترین توان استحصال شده با توجه به متغیر در نظر گرفته شده) در هر مرحله، به عنوان پارامتر ثابت مراحل بعدی لحاظ شده است.

در مرحله اول پارامترهای موج فرودی (ارتفاع شاخص موج و پریود) متغیر و پارامترهای دیگر ثابت فرض شدند. مشاهده شد که در ارتفاع موج کمتر از یک متر، مقدار توان کمی حاصل می‌شود در صورتی که در فاصله ارتفاعی بین یک تا ۱/۲۵ متر تغییرات ناگهانی در مقدار توان استخراجی صورت پذیرفت. ارتفاع موج بالاتر از ۱/۲۵ متر نیز تغییرات بسیار کمی را در توان خروجی نشان داده است. با توجه به موقعیت منطقه بیان شده ارتفاع شاخص موج ۱/۵ متر در نظر گرفته شد که پریود وقوع این نوع امواج در حدود ۵ ثانیه بوده است. شکل ۷ این مطلب را به خوبی نشان می‌دهد.

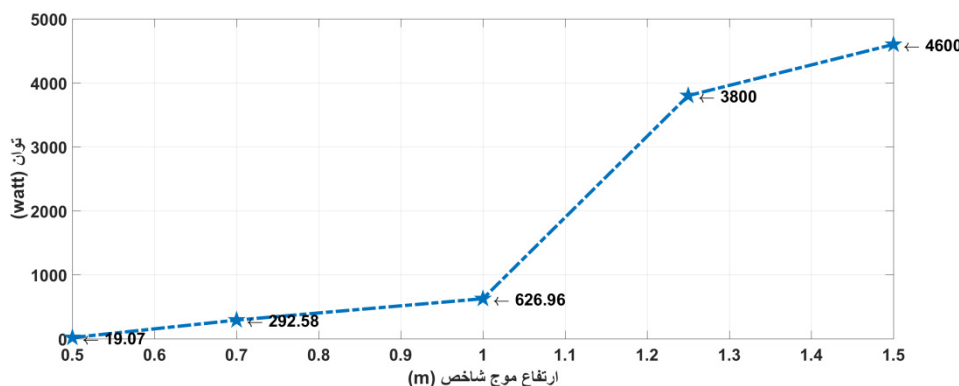
در مرحله دوم شب بستر متغیر و پارامترهای دیگر ثابت در نظر گرفته شدند. مشاهده شد که اگر شب بستر کمتر از ۵٪ باشد، مقدار توان کمی استحصال می‌شود، در صورتی که در شب بستر از ۵٪ تا ۷/۵٪ افزایش زیادی در توان خروجی وجود دارد. در شب‌های بیشتر از ۷/۵٪ تغییرات زیادی در مقدار توان خروجی وجود نداشت. بنابراین، با توجه به مشخصه‌های مورفو‌لوژیکی منطقه موربدبخت، شب ۷/۵٪ لحاظ شده است که شکل ۸ به خوبی بیانگر این موضوع است.

در مرحله سوم ارتفاع کanal‌ها متغیر و پارامترهای دیگر ثابت فرض شده است. نتایج حاصل نشان داد که هرچقدر ارتفاع کanal بیشتر باشد، مقدار توان استحصال بیشتر است، با در

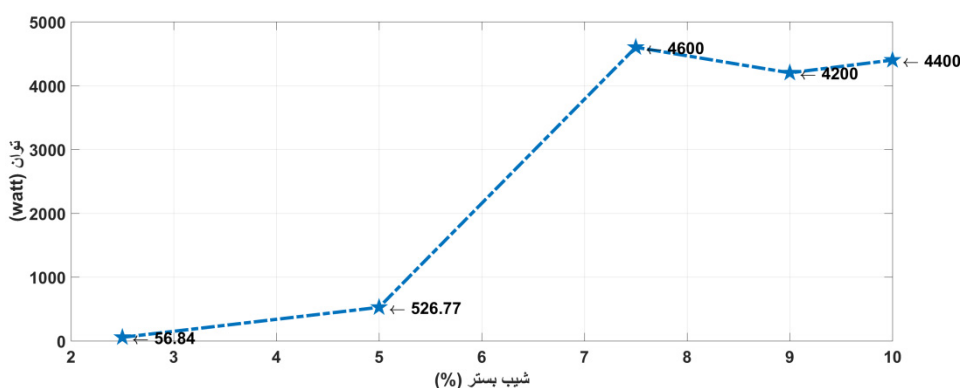
جدول ۱: مقادیر متغیرها در سناریوهای مختلف

| توان جریان شکافنده (watt) | سرعت متوسط جریان شکافنده (m/s) | ارتفاع شاخص موج فرودی (m) | پریود موج فرودی (s) | فاصله بین دو کanal (m) | ارتفاع کanal‌ها (m) | شب بستر (%) | فاصله کanal از ساحل (m) |
|---------------------------------|--------------------------------------|------------------------------|------------------------|---------------------------|------------------------|-------------|----------------------------|
| ۵۰ | ۰/۱۴ | ۰/۰۵ | ۳ | ۰ | ۴/۵ | ۷/۵ | ۵۰ |
| | ۰/۳۵ | ۰/۰۷ | ۴ | ۵ | ۴/۵ | ۷/۵ | ۵۰ |
| | ۰/۴۵ | ۱ | ۴ | ۵ | ۴/۵ | ۷/۵ | ۵۰ |
| | ۰/۸۳ | ۱/۲۵ | ۵ | ۵ | ۴/۵ | ۷/۵ | ۵۰ |

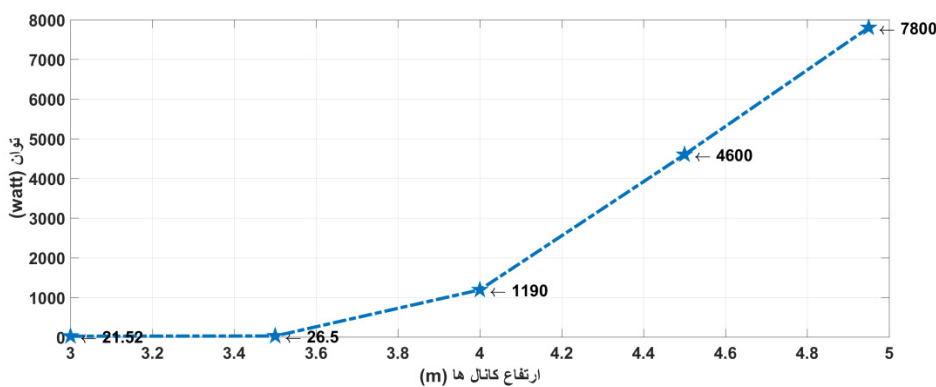
| | فاصله کاتال از ساحل (m) | شیب بستر (%) | ارتفاع کاتال‌ها (m) | فاصله بین دو کاتال (m) | پریود موج فروندی (s) | ارتفاع شاخص موج فروندی (m) | سرعت متوسط جریان شکافنده (m/s) | توان جریان شکافنده (watt) |
|-------------|-------------------------|--------------|---------------------|------------------------|----------------------|----------------------------|--------------------------------|---------------------------|
| مردمون | ۵۰ | ۷/۵ | ۴/۵ | ۵ | ۵ | ۱/۵ | ۰/۸۸ | ۴۶۰۰ |
| | ۵۰ | ۲/۵ | ۴/۵ | ۵ | ۵ | ۱/۵ | ۰/۳ | ۵۶/۸۴ |
| | ۵۰ | ۵ | ۴/۵ | ۵ | ۵ | ۱/۵ | ۰/۵۶ | ۵۲۶/۷۷ |
| | ۵۰ | ۷/۵ | ۴/۵ | ۵ | ۵ | ۱/۵ | ۰/۸۸ | ۴۶۰۰ |
| | ۵۰ | ۹ | ۴/۵ | ۵ | ۵ | ۱/۵ | ۰/۷۶۳ | ۴۲۰۰ |
| | ۵۰ | ۱۰ | ۴/۵ | ۵ | ۵ | ۱/۵ | ۰/۷۶۴ | ۴۴۰۰ |
| مرجله سوئی | ۵۰ | ۷/۵ | ۳ | ۵ | ۵ | ۱/۵ | ۰/۱۵ | ۲۱/۵۲ |
| | ۵۰ | ۷/۵ | ۳/۵ | ۵ | ۵ | ۱/۵ | ۰/۱۶ | ۲۶/۵ |
| | ۵۰ | ۷/۵ | ۴ | ۵ | ۵ | ۱/۵ | ۰/۵۶ | ۱۱۹۰ |
| | ۵۰ | ۷/۵ | ۴/۵ | ۵ | ۵ | ۱/۵ | ۰/۸۸ | ۴۶۰۰ |
| | ۵۰ | ۷/۵ | ۴/۹۵ | ۵ | ۵ | ۱/۵ | ۱/۰۵ | ۷۸۰۰ |
| نمایل طیاره | ۷۵ | ۷/۵ | ۴/۹۵ | ۵ | ۵ | ۱/۵ | ۱/۲ | ۱۷۲۰۰ |
| | ۱۰۰ | ۷/۵ | ۴/۹۵ | ۵ | ۵ | ۱/۵ | ۱/۰۷ | ۱۲۴۰۰ |
| | ۱۵۰ | ۷/۵ | ۴/۹۵ | ۵ | ۵ | ۱/۵ | ۰/۹۸ | ۹۴۶۰ |
| | ۷۵ | ۷/۵ | ۴/۹۵ | ۵ | ۵ | ۱/۵ | ۱/۲ | ۱۷۲۰۰ |
| نمایل | ۷۵* | ۷/۵* | ۴/۹۵* | ۱.۰* | ۰* | ۱/۰* | ۱/۱۴* | ۲۹۲۰۰* |
| | ۷۵ | ۷/۵ | ۴/۹۵ | ۱۵ | ۵ | ۱/۵ | ۰/۹۳ | ۲۴۵۰۰ |
| | ۷۵ | ۷/۵ | ۴/۹۵ | ۲۰ | ۵ | ۱/۵ | ۰/۷۳ | ۱۵۷۰۰ |
| | ۷۵ | ۷/۵ | ۴/۹۵ | ۲۵ | ۵ | ۱/۵ | ۰/۵۳ | ۷۴۳۰ |



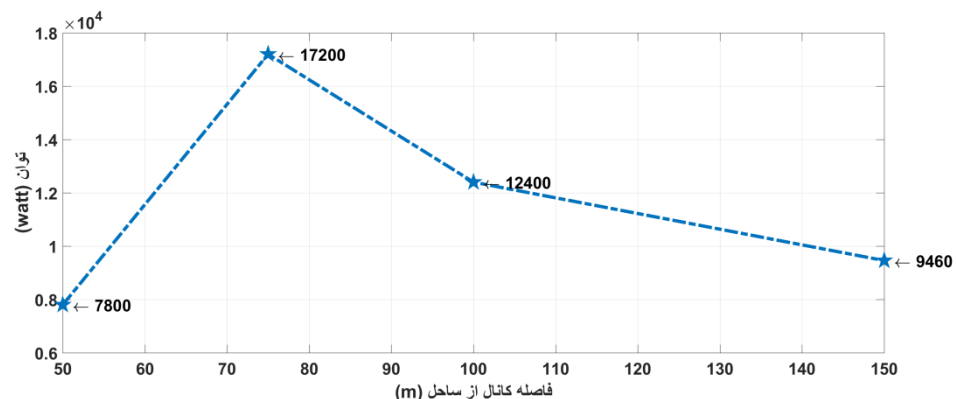
شکل ۷. نتایج حاصل از توان خروجی با تغیرات ارتفاع شاخص موج



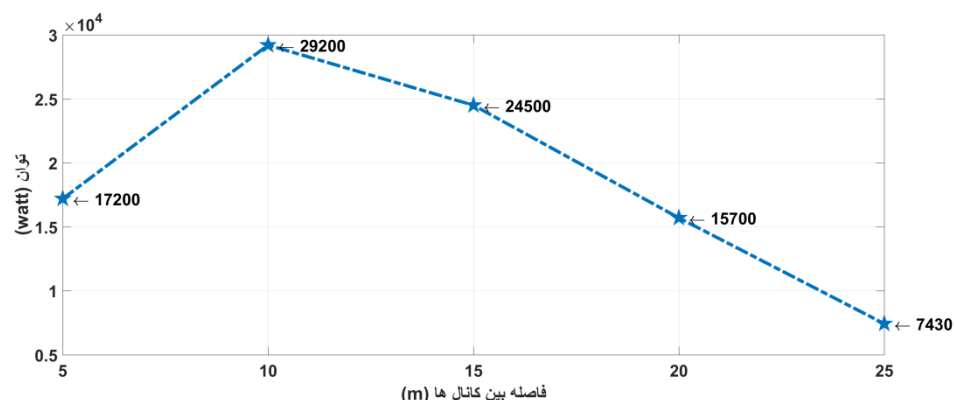
شکل ۸. نتایج حاصل از مقدار توان خروجی با تغیرات شیب بستر



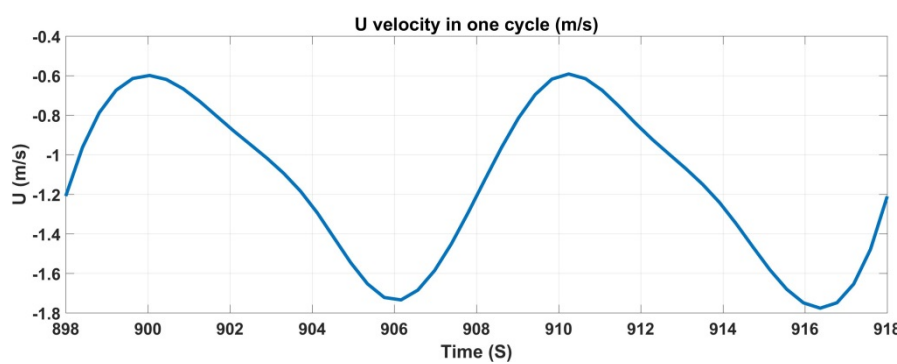
شکل ۹. نتایج حاصل از مقدار توان خروجی با تغییرات ارتفاع کانال‌ها



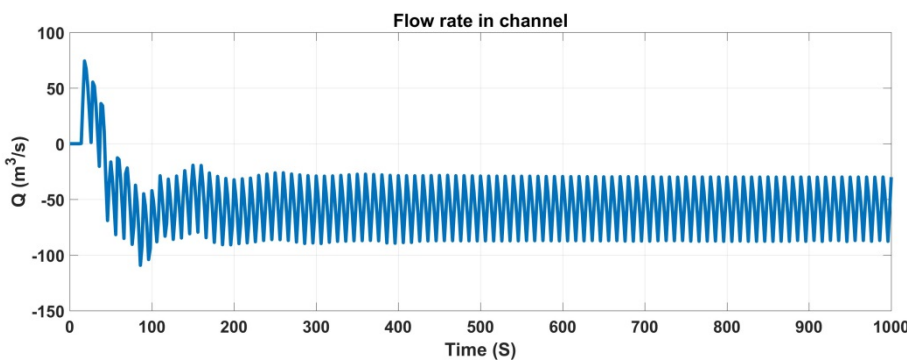
شکل ۱۰. تغییرات توان خروجی با تغییرات فاصله کانال از ساحل



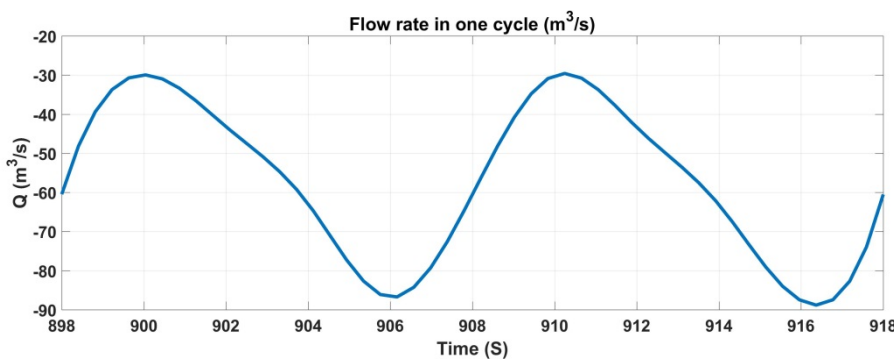
شکل ۱۱. تغییرات مقدار توان خروجی با تغییرات فاصله بین کانال‌ها



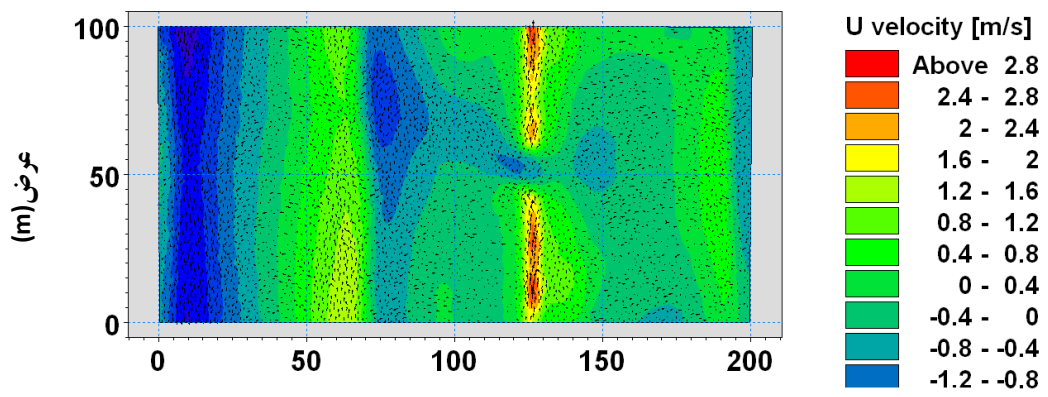
شکل ۱۲. سرعت متوسط جریان خروجی از دهانه بین کانال‌ها در یک نوسان کامل موج



شکل ۱۳. دبی عبوری از فاصله بین دو کانال در طول زمان



شکل ۱۴. دبی عبوری از فاصله بین دو کانال در یک نوسان موج



شکل ۱۵. نحوه توزیع و جهت جریان نقاط انتخابی در فاصله بین کانال‌ها

- حالت بهینه در اثر تغییرات شیب بستر، شیب بستر $7/5\%$

است که در این حالت مقدار توان 4600 وات و میزان سرعت خروجی آب $0/88$ متر بر ثانیه است. چون در مرحله اول هم شیب $7/5\%$ در نظر گرفته شده بود برای همین مقدار توان و سرعت خروجی با مرحله اول برابر است؛

- حالت بهینه ارتفاع پشته $4/95$ متر یعنی حدود 99% عمق آب است که در این حالت مقدار توان 7800 وات و میزان سرعت خروجی آب $1/05$ متر بر ثانیه است؛

۵. نتیجه‌گیری

پس از بررسی‌های کلی در ۵ مرحله مختلف نتایج به صورت زیر است:

- حالت بهینه بعد از تغییرات ارتفاع شاخص و پریود موج به صورت ارتفاع شاخص موج $1/5$ متر و پریود 5 ثانیه است که در این حالت مقدار توان 4600 وات و میزان سرعت خروجی آب $0/88$ متر بر ثانیه است؛

[8] Shafiei Sabet D, Barani GA. Field investigation of rip currents along the southern coast of Caspian Sea. *Scientia Iranica*. 2011;18(4):878-84.

[۹] ولی پور آزاده. بررسی تأثیر عوامل مختلف هیدرودینامیکی بر فاصله و عرض کانال‌های جریان برگشتی با استفاده از همانندسازی فیزیکی و عددی [رساله دکترا]. تهران: دانشگاه آزاد اسلامی واحد علوم و تحقیقات؛ ۱۳۹۲.

[10] Chabaud V. The potential of extracting wave energy from rip currents. Master of science thesis, Norwegian university of science and technology. 2011.

[11] Kumar N, Voulgaris G, Warner JC. Implementation and modification of a three-dimensional radiation stress formulation for surf zone and rip-current applications. *Coastal Engineering*. 2011; 58(12):1097-117.

[12] Castelle B, Reniers AJ, MacMahan JH. Numerical modeling of surfzone retention in rip current system: on the impact of the surfzone sandbar morphology. *Coastal Dynamics*. 2013; 13:295-304.

[13] Bruneau N, Bonneton P, Castelle B, Pedreros R. Modeling rip current circulations and vorticity in a high-energy mesotidal-macrotidal environment. *Journal of geophysical research*. 2011; 116(C7): 1-20.

[14] Jie Yu. Effects of wave-current interaction on rip currents. *Journal of geology research*. 2003; 108(C3):1-19.

[15] MacMahan JH, Thornton EB, Reniers AJ, Stanton TP, Symonds G. Low-energy rip currents associated with small bathymetric variations. *Marine Geology*. 2008 Dec 5;255(3-4):156-64.

[16] MacMahan JH, Thornton EB, Reniers AJ. Rip current review. *Coastal Engineering*. 2006 Feb 1;53(2-3):191-208.

[17] Ghorbani A, Rasulyjamnany A. The modelling of rip channel in creation of rip currents. *Indian journal of science and technology*. 2012;5(4): 2529-33.

[18] Criado-Sudau FF, Nemes DD, Gallo MN. Rip currents dynamic of a swell dominated microtidal beach. *Journal of Coastal Research*. 2019 Jul;92(sp1):121-7.

[19] Haller MC, Dalrymple RA, Svendsen IA. Rip Channels and Nearshore Circulation. Proceedings of the international conference on coastal research through large scale experiments Plymouth; 1997 23-27 Jun; UK.

• حالت بهینه فاصله پشت‌ها از ساحل، ۷۵ متر از ساحل است که در این حالت مقدار توان ۱۷۲۰۰ وات و میزان سرعت خروجی آب ۱/۲ متر بر ثانیه است؛

• حالت بهینه فاصله دو دهانه کanal از هم ۱۰ متر حاصل شد که در این حالت مقدار توان ۲۹۲۰۰ وات و میزان سرعت خروجی آب ۱/۲۴ متر بر ثانیه است.

در بعضی سواحل دنیا امواج خوبی برای استحصال انرژی وجود ندارد. از جمله سواحل جنوبی خزر دارای این ویژگی هستند. تاکنون در پتانسیل سنجی، این سواحل برای استخراج انرژی در نظر گرفته نشده‌اند.

با راه حل ارائه شده در این تحقیق می‌توان حدود ۳۰.Kw انرژی از یک عرض ۱۰۰ متری با ارتفاع موج ۱/۵ متر استخراج نمود که توان چشمگیری برای دستگاه‌های مبدل انرژی امواج 13 است. بنابراین مسیر جدیدی برای محققان در این راستا باز شده است.

مراجع

- [1] Short AD. Rip current type, spacing and persistence Narrabeen beach, Australia. *Marine Geology*. 1985;65(1-2): 47-71.
- [2] MacMahan JH, Thornton EB, Stanton TP, Reniers AJ. RIPEX: Observations of a rip current system. *Marine Geology*. 2005 Jun 30;218(1-4):113-34.
- [3] Bruneau N. Field observations of an evolving rip current on a meso-macrotidal well-developed inner bar and rip morphology. *Continental shelf research*. 2009;29(14): 1650-62.
- [4] Dongeren AV. Rip current predictions through model-data assimilation on two distinct beaches. *Coastal dynamics*. 2013; 1775-1786.
- [۵] غلامی زهراء، چگینی وحید، لاری کامران. پنهانی جریان‌های شکافنده در سواحل غرب گیلان. یازدهمین همایش صنایع دریایی؛ ۱۳۸۸؛ جزیره کیش، ایران.
- [6] Castelle B, Marieu V, Cocco G, Bonneton P, Ruessink B.G. On the impact of an offshore bathymetric anomaly on surf zone rip channels. *Journal of geophysical research: Earth surface*. 2012; 117(F1):1029-38.
- [۷] علیزاده حمید. مقدمه‌ای بر ویژگی‌های دریای خزر. تهران: انتشارات نوربخش؛ ۱۳۸۳.

پی‌نوشت

1. GPS
2. RCM flowmeter
3. Mike 21
4. ROMS
5. SWAN
6. REF/DIF
7. Reserva beach
8. Matlab
9. coupled
10. Hydrodynamic (HD) modules
11. Courant number
12. Chezy's coefficient
13. Wave Energy Converters (WEC)

[۲۰] کمیجانی فرشته. طبقه‌بندی هیدرودینامیکی سواحل

جنوبی دریای خزر- استان مازندران. نشریه مهندسی
دریا. ۱۳۹۵، ۱۲، ۶۴-۵۳.

[21] MIKE21 & MIKE3 FLOW MODEL manual
[Internet]. 2017. Available from:
[http://manuals.mikepoweredbydhi.help/2017/
Coast_and_Sea/MIKE_FM_HD_Step_By_Step.
pdf](http://manuals.mikepoweredbydhi.help/2017/Coast_and_Sea/MIKE_FM_HD_Step_By_Step.pdf).

[22] Hansen MO. Aerodynamics of wind turbines.
2nd edition. Earthscan; 2008.